

УДК 539.2;543.422.27

©1994

# ИЗМЕНЕНИЕ ХАРАКТЕРА ЛОКАЛЬНОЙ НЕУСТОЙЧИВОСТИ ДЕФЕКТОВ В ТОНКИХ ПЛЕНКАХ И ВБЛИЗИ ПОВЕРХНОСТИ КРИСТАЛЛА

*В. С. Вихнин, Н. С. Аверкиев*

Теоретически рассмотрены эффект нецентральности примесных ионов вблизи поверхности кристалла или в тонкой пленке и эффект Яна-Теллера в этой ситуации. Показано, что вследствие сил изображения эти эффекты качественно отличаются от своих объемных аналогов. В частности, обнаружено подавление эффекта нецентральности у поверхности. Наряду с изменением многоямного потенциала распределение локальных центров у поверхности приводит к флукутации частот квазилокальных мод этих центров. В результате возникает новый механизм неоднородного уширения резонансных линий ИК-поглощения и рамановского рассеяния света на частотах квазилокальных колебаний центров у поверхности. Рассчитана форма линии, которая характеризуется необычно медленным законом затухания ее Фурье-образа и существенной асимметрией.

Исследования формы резонансной линии в тонкой пленке показали [1,2], что неоднородное уширение вследствие упругих и электрических полей дефектов приводит к новой (по сравнению с объемным случаем) форме линии. Этот результат во многом обязан изменению потенциального поля дефекта из-за появления сил изображения.

Однако не только неоднородное уширение резонансных линий локальных центров вблизи поверхности или в тонкой пленке определяется эффектом сил изображения. Хорошо известен широкий круг задач о локальной неустойчивости дефектов, в результате которой возникают многоямные потенциалы локальных центров (например, в случае нецентральности примесных ионов [3,4], эффекта псевдоэффекта Яна-Теллера [5,6]). В задачах этого типа, как правило, актуальны ситуации, когда имеют место низкочастотные квазилокальные колебания в отдельных ямах многоямного потенциала либо локальная деформация в минимуме потенциала не слишком велика. В обоих случаях мы имеем дело с «мягким» многоямным потенциалом, который может существенно изменяться под действием внешнего поля или внутреннего поля. Упругое и электрическое поле изображения для дефекта вблизи поверхности кристалла или в тонкой пленке может играть роль такого дополнительного поля, изменяющего вид многоямного потенциала. В результате мы приходим к задаче о формировании многоямного потенциала вследствие дипольной неустойчивости (нечентральные ионы) и эффекта Яна-Теллера в условиях взаимодействия рассматриваемого локального центра с его собственным полем изображения. Действительно, возникающие в условиях локальной неустойчивости центра

смещения ионов в области дефекта приводят к появлению электрических и упругих моментов, поле которых вблизи поверхности содержит вклад, связанный с силами изображения. Эти поля изображения пропорциональны смещениям ионов дефекта и в свою очередь взаимодействуют с теми же электрическими и упругими моментами, которые их породили. В результате возникает дополнительный вклад в энергию дефекта, квадратичный по смещениям ионов или более высокого порядка. Тем самым потенциал дефекта вблизи поверхности будет содержать новые вклады, перенормирующие колебательные частоты и ангармонизм. Последнее может не только количественно, но и качественно изменять многоядерный потенциал (например, приводить к его появлению по мере приближения центра к поверхности раздела либо к подавлению эффекта нецентральности<sup>1</sup>).

В настоящей работе мы рассмотрим эффект нецентральности примесных ионов вблизи поверхности кристалла или в тонкой пленке и эффект Яна–Теллера в этой ситуации. Будет показано, что вблизи поверхности такие эффекты качественно отличаются от своих объемных аналогов.<sup>1</sup>

Кроме того, пространственное распределение локальных центров у поверхности будет приводить к флуктуациям эффекта сил изображения, что в свою очередь будет приводить к флуктуациям частот квазилокальных мод этих центров. В результате возникает новый механизм неоднородного уширения резонансных линий ИК-поглощения и рамановского рассеяния на частотах квазилокальных колебаний центров у поверхности. Мы покажем, что в этом случае возникает новая форма резонансной линии, асимметрия которой и ее затухание на крыльях непосредственно обусловлены эффектом сил изображения.

## 1. Нецентральный ион вблизи поверхности кристалла

Рассмотрим влияние электрических сил изображения на формирование многоядерного потенциала нецентрального примесного иона вблизи поверхности кубического кристалла или в соответствующей тонкой пленке.

Потенциал нецентрального примесного иона на значительном расстоянии от поверхности, где эффектом сил изображения можно пренебречь, для кубического окружения (точечная группа  $O_h$ ) может быть представлен в виде

$$U_0 = \frac{K_0}{2} (Q_x^2 + Q_y^2 + Q_z^2) + \frac{L_1}{4} (Q_x^4 + Q_y^4 + Q_z^4) + \\ + \frac{L_2}{2} (Q_x^2 Q_y^2 + Q_y^2 Q_z^2 + Q_x^2 Q_z^2), \quad (1)$$

где  $Q_x, Q_y, Q_z$  — координаты полярного исказжения, которые предполагаются достаточно малыми для того, чтобы учитывать в разложении (1) ангармонизм четвертого порядка и пренебрегать ангармонизмом

<sup>1</sup> Предварительно результаты работы докладывались на Международной конференции «Nanostructures: Physics and Technology». Санкт-Петербург, 1993.

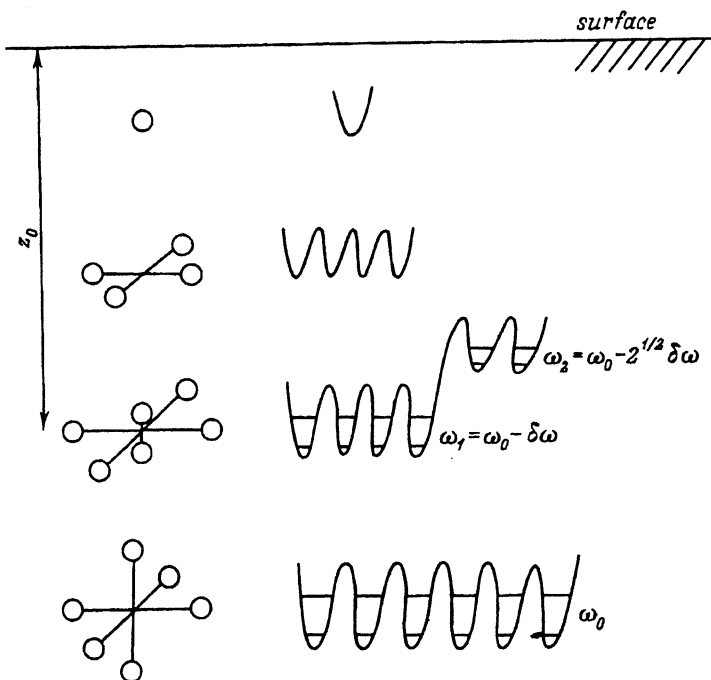


Рис. 1. Изменение многоямного  $XY_6$  потенциала нецентрального примесного иона по мере его приближения к поверхности кристалла.  
 $z_0$  — расстояние до поверхности.

высших порядков. Для нецентрального иона выполняются неравенства  $K_0 < 0$ ,  $L_1 > 0$ ,  $L_2 > 0$ , что соответствует неустойчивости в узле с кубической симметрией.

Вблизи поверхности кристалла любое полярное искажение  $Q$ , соответствующее смещению заряда, приводит к появлению двух электрических дипольных моментов: электрического дипольного момента дефекта  $P_1 = e\{Q_x, Q_y, Q_z\}$  и на расстоянии  $2z_0$  (рис. 1) — электрического дипольного момента изображения  $P_2 = e\{Q_x, Q_y, -Q_z\}$ . Здесь  $z_0$  — расстояние дефекта от поверхности.

Рассмотрим случай, когда частоты  $\omega_{\perp}$ ,  $\omega_{\parallel}$  колебаний нецентрального иона в отдельных потенциальных ямах существенно меньше минимальной частоты поперечного оптического фона  $\omega_{TO}$  ( $\omega_{TO} \gg \omega_{\perp}, \omega_{\parallel}$ ). Такое соотношение является типичным для реальных «мягких» потенциалов нецентрального иона (например, для нецентральных ионов  $\text{Li}^+$  в  $\text{KCl}$  [3] и  $\text{Cu}^{2+}$  в  $\text{SrO}$  [7] значения частот квазилокальных колебаний близки к  $40 \text{ cm}^{-1}$ , что существенно меньше соответствующих значений  $\omega_{TO}$ ). Тогда электрическое диполь-дипольное взаимодействие между мгновенными значениями дипольного момента изображения и дипольного момента дефекта может рассматриваться как косвенное взаимодействие через поперечные и продольные оптические фононы.

Для актуального случая  $z_0 \gg a$ ,  $z_0 > r_c$  ( $a$  — постоянная решетки;  $r_c$  — радиус корреляции для смещений, связанных с  $TO$ -модой) такое

взаимодействие может быть записано аналогично [8]

$$H_{d-d} = \left[ \frac{\mathbf{P}_1 \mathbf{P}_2}{(2z_0)^3} - \frac{3P_1^{(z)} P_2^{(z)}}{(2z_0)^3} \right] \left( \frac{\varepsilon + 2}{3} \right)^2 \frac{1}{\varepsilon}, \quad (2)$$

где  $\varepsilon$  — диэлектрическая проницаемость кристалла. В (2) мы учли точечность диполей ( $|Q_x|, |Q_y|, |Q_z| \ll 2z_0$ ).

Тогда из (2) получаем, что потенциал рассматриваемого дефекта вблизи поверхности равен

$$\tilde{U} = U_0 + \frac{(Ze)^2 [2Q_z^2 + Q_x^2 + Q_y^2]}{(2z_0)^3 \varepsilon} \left( \frac{\varepsilon + 2}{3} \right)^2. \quad (3)$$

Необходимо отметить, что имеется проблема граничных условий в задаче о взаимодействии диполя или другого мультиплетного момента с поверхностью. Нами используется равенство нулю нормальных составляющих сил, действующих на каждый атом или ион, находящихся на поверхности в узле решетки. В результате граничные условия, используемые ниже, имеют локальную природу и могут быть обоснованы лишь в рамках микроскопического рассмотрения. По этой же причине они отличаются от обычных макроскопических граничных условий, используемых в макроскопической электростатике. В частности, в (3) при  $\varepsilon \rightarrow 1$  эффект взаимодействия с поверхностью не исчезает.

Из (3) следует, что вблизи поверхности возникает перенормировка квадрата частоты полярных колебаний дефекта, причем, во-первых, квадрат частоты в результате возрастает, а во-вторых, это возрастание происходит анизотропным образом. Это приводит к следующей картине изменения многоямного потенциала нецентрального иона (рис. 1). Если при достаточно больших значениях  $z_0$  мы имеем шестиямный потенциал типа  $XY_6$  с практически одинаковыми по энергии минимумами, то при уменьшении  $z_0$  равновесные смещения уменьшаются, эффект нецентральности уменьшается, причем анизотропным образом (шесть эквивалентных ям  $\rightarrow$  четыре эквивалентные ямы в основном состоянии и две в возбужденном  $\rightarrow$  четыре эквивалентные ямы  $\rightarrow$  одна потенциальная яма в узле решетки).

Если частота квазилокальных колебаний в отдельных потенциальных ямах все же превосходит предельную частоту поперечного оптического фонона (что может быть актуально вблизи сегнетоэлектрического фазового перехода), эффект диполь-дипольного взаимодействия с диполем-изображением может рассматриваться как действие добавочного электрического поля диполя-изображения на исходный многоямный потенциал с фиксированными положениями минимумов. Соответствующие положения минимумов могут быть вычислены в результате квантовомеханического усреднения по полярнымискажениям как по «быстрой» переменной. В результате мы также приходим к гамильтониану (2), в котором  $\mathbf{P}_1$  и  $\mathbf{P}_2$  соответствуют фиксированным значениям дипольных моментов в минимумах исходного многоямного потенциала. Это приводит к энергетической неэквивалентности потенциальных ям. Например, для случая шестиямного потенциала энергия

четырех потенциальных ям с дипольными моментами в плоскости поверхности повышается за счет (2) на величину

$$W = \frac{(Ze)^2 Q^2}{(2z_0)^3 \epsilon} \left( \frac{\epsilon + 2}{3} \right)^2,$$

в то время как энергия двух потенциальных ям с дипольными моментами, перпендикулярными поверхности, повышается на величину, в два раза большую. В результате мы приходим к четырехкратному вырождению основного состояния и двукратному — возбужденного, причем энергия расщепления между ними оказывается равной

$$\frac{(Ze)^2 Q^2}{(2z_0)^3 \epsilon} \left( \frac{\epsilon + 2}{3} \right)^2$$

и быстро возрастает при уменьшении  $z_0$  и росте  $\epsilon$ .

Оценки показывают, что в первом случае ( $\omega_{\parallel}, \omega_{\perp} \ll \omega_{TO}$ ) для обыкновенного диэлектрика без сегнетоэлектрического фазового перехода ( $\epsilon = 10$ ) при  $z = 2$ ,  $z_0 = 10 \text{ \AA}$  параметр упругости полярного колебания  $K_0$  в направлении, перпендикулярном поверхности, увеличивается на значительную величину —  $400 \text{ cm}^{-1}/\text{A}^2$ . Для ситуации мягкой сегнетоэлектрической матрицы, когда  $\omega_{TO} \ll \omega_{\parallel}, \omega_{\perp}$ , при  $\epsilon = 10^3$ ,  $z = 2$ ,  $z_0 = 20 \text{ \AA}$ , при равновесном смещении из узла  $Q = 0.5 \text{ \AA}$  величина расщепления между четырьмя абсолютными и двумя относительными минимумами исходного  $XY_6$ -потенциала оказывается равной  $\sim 195 \text{ cm}^{-1}$ , что практически соответствует переходу от шестиямного к четырехъямному потенциальному уже для температур порядка температуры жидкого азота.

Таким образом, показано, что рассмотренное взаимодействие может приводить к драматическому изменению вида многоядерного потенциала нецентральных ионов вблизи поверхности кристалла и в тонких пленках.

Перейдем теперь к анализу ситуации ян-теллеровского центра вблизи поверхности кубического кристалла или в тонкой пленке кубического кристалла, когда равновесные искажения являются четными.

## 2. Ян-теллеровский центр вблизи поверхности кристалла

Рассмотрим для примера ян-теллеровское  $E$ -состояние в кубическом окружении ( $O_h$ -симметрия). Как известно, вследствие  $E_{xe}$  вибронного взаимодействия с тетрагональными искажениями в пределе сильной связи для такого дефекта возникает адиабатический потенциал

$$U_0 = -|V_E|\rho + \frac{m\omega^2}{2}\rho^2 + H_{unh}^{(3)}, \quad (4)$$

где  $\rho = \sqrt{Q_\theta^2 + Q_\epsilon^2}$ ;  $Q_\theta$ ,  $Q_\epsilon$  — тетрагональные искажения;  $V_E$  — параметр вибронной связи;  $m\omega^2$  — упругость тетрагональных искажений;  $H_{unh}^{(3)}$  — ангармонизм тетрагональных колебаний третьего порядка, приводящий к появлению трех минимумов на потенциале «мексиканская шляпа» (первые два члена в (4) [9]).

При возникновении статического тетраэдрического искажения  $Q_\theta$ ,  $Q_\epsilon$  изменяется объем в области дефекта, т.е. мощность центра дилатации  $\alpha$ , связанная с ян-теллеровским дефектом: изменение на величину  $\Delta\alpha \sim \rho^2$ .

С другой стороны, вблизи поверхности кристалла либо в тонкой пленке даже в изотропной среде центр дилатации за счет сил изображения производит поле пространственных флюктуаций объема в виде [1]

$$\operatorname{div} \mathbf{U} = \frac{\alpha}{4\pi(1-\sigma)r^3} \left[ 1 - \frac{3(z+z_0)^2}{r^2} \right], \quad (5)$$

где  $r^2 = x^2 + y^2 + (z+z_0)^2$ ;  $x, y, z$  — координаты ян-теллеровского центра;  $z_0$  — координата точки наблюдения эффекта упругого дилатационного поля от ян-теллеровского центра. В нашем случае, как отмечалось выше, благодаря эффекту Яна-Теллера  $\alpha = \alpha_0 + \Delta\alpha = \alpha_0 + \alpha_1\rho^2$ , где  $\alpha_0, \alpha_1$  — константы. Кроме того, в (5) следует положить  $x = y = 0, z = z_0$ , так как мы будем рассматривать воздействие поля изображения на центр, который его создал. Принимая во внимание электрон-решеточное взаимодействие  $E$ -состояний с полносимметричными искажениями

$$\delta\varepsilon_E = h_A \operatorname{div} \mathbf{U},$$

где  $\delta\varepsilon_E$  — сдвиг энергии  $E$ -состояний,  $h_A$  — деформационный потенциал, и подставляя (5) в (6) при  $x = y = 0, z = z_0$ , получаем, что вследствие взаимодействия электронных  $E$ -состояний с дилатационным полем изображения ян-теллеровский адиабатический потенциал (4) приобретает дополнительный вклад

$$\delta U_1 = -\frac{h_A \alpha_1 (Q_\theta^2 + Q_\epsilon^2)}{16\pi(1-\sigma)z_0^3}. \quad (7)$$

Таким образом, вследствие упругих сил изображения возникает модуляция упругости тетрагональных ян-теллеровских искажений  $t\omega^2$ . Аналогичным образом вследствие модуляции полносимметричными искажениями параметра вибронной связи с  $E$ -деформациями

$$V_E = V_E^{(0)} + V_E^{(1)} \operatorname{div} \mathbf{U}. \quad (8)$$

Ян-теллеровский адиабатический потенциал (4) приобретает еще один дополнительный вклад благодаря упругому полю изображения

$$\delta U_2 = \left( \left| V_E^{(0)} \right| - \left| V_E^{(0)} - V_E^{(1)} \frac{h_A \alpha_1 (Q_\theta^2 + Q_\epsilon^2)}{16\pi(1-\sigma)z_0^3} \right| \right) \sqrt{Q_\theta^2 + Q_\epsilon^2}. \quad (9)$$

Последнее приводит к индуцированному упругими силами изображения ангармонизму  $E$ -колебаний.

Отметим, что рассмотрение в (7), (9) мгновенных значений  $Q_\theta, Q_\epsilon$  и тем самым возможность минимизации полного адиабатического потенциала  $U = U_0 + \delta U_1 + \delta U_2$  по динамическим переменным  $Q_\theta, Q_\epsilon$  с целью

нахождения новых равновесных ян-теллеровских искажений вблизи поверхности кристалла или в тонких пленках оказываются обоснованными лишь для «мягкого» ян-теллеровского потенциала, когда результирующая частота гармонических колебаний в ян-теллеровском минимуме  $\omega$

$$\omega = \sqrt{\omega_0^2 - \frac{h_A \alpha_1}{8\pi(1-\sigma)z_0^3 m}} \quad (10)$$

гораздо меньше частоты Дебая  $\omega_D$ ,  $\omega \ll \omega_D$ . Последнее соответствует вкладу практически всей дисперсии акустических фонон в выражения для упругого поля изображения (5), что позволяет пользоваться теорией упругости для перенормировки «медленных» колебаний ян-теллеровской системы.

В результате мы приходим к выводу, что вблизи поверхности кристалла или в тонкой пленке за счет упругих сил изображения возникает перенормировка гармонических (7) и ангармонических (9) слагаемых в адиабатическом потенциале, что при условии  $\omega \ll \omega_D$  будет приводить к новому значению равновесного ян-теллеровского искажения  $\rho$ . Последнее может быть легко найдено при минимизации полного адиабатического потенциала  $U = U_0 + \delta U_1 + \delta U_2$ . Значение  $\rho$  для центра у поверхности может оказаться как больше, так и меньше значения  $\rho$  для центров в объеме образца в зависимости от знаков соответствующих констант. При этом в противоположность рассмотренному в предыдущем разделе случаю эффекта электростатических сил возможны существенное усиление эффекта Яна-Теллера и увеличение  $\rho$  при компенсации  $\omega_0^2$  под знаком корня в (10) вследствие эффекта упругих сил изображения.

### 3. Новая форма неоднородно-уширенной линии ИК-поглощения и комбинационного рассеяния света на квазилокальных колебаниях и ян-теллеровских центрах

Как и в случае электростатического диполь-дипольного взаимодействия диполя нецентрального иона со своим изображением, так и в случае упругого взаимодействия ян-теллеровского искажения со своим изображением по мере приближения центра к поверхности кристалла или пленки возникает сдвиг квадрата квазилокальной колебательной части  $\omega^2$ , пропорциональной  $z_0^{-3}$ . Рассматривая случай небольших добавок к затравочному квадрату частоты  $\omega_0^2$ , мы приходим к выражению для  $\omega$  в виде

$$\omega = \omega_0 + \frac{B}{z_0^3}, \quad (11)$$

где  $B$  — константа.

Учтем теперь, что благодаря распределению рассматриваемых центров в образце при конкретных значениях  $z_0$  возникает соответствующее распределение сдвигов квазилокальных колебательных частот в соответствии с (11). Это в свою очередь формирует неоднородно-уширенный контур линии ИК-поглощения и комбинационного рассеяния света. Воспользуемся статической теорией формы неоднородно-уширенных резонансных линий [10] для расчета формы линии в этом случае.

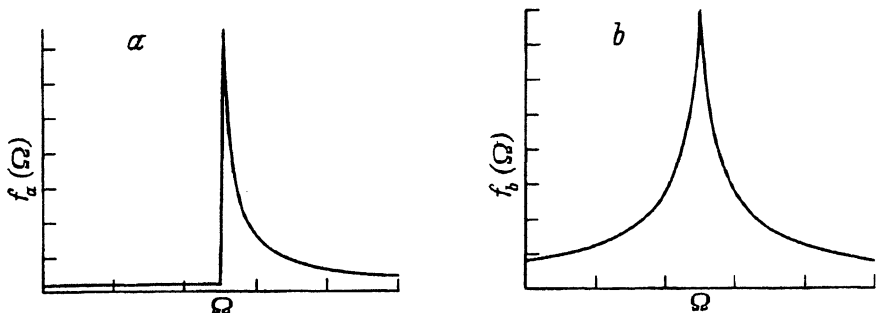


Рис. 2. Форма линии поглощения на частотах квазилокальных колебаний центров у поверхности кристалла (a) и ее симметричная часть (b).

$$f_a(\Omega) = \int_0^{\infty} \exp(-t^{1/3}) \cos[\Omega t - 3^{-1/2} t^{1/3}] dt, \quad f_b(\Omega) = \int_0^{\infty} \exp(-t^{1/3}) \cos[\Omega t] dt.$$

Тогда форма резонансной линии  $J(\omega)$  будет определяться так:

$$J(\omega) = \frac{I}{2\pi} \int_{-\infty}^{+\infty} e^{i\omega t} \left[ e^{-\frac{1}{t} J(t)} \right] dt, \quad (12)$$

$$J(t) = \int_{-\infty}^{+\infty} dz_0 \left[ 1 - e^{-i \frac{B}{z_0} t} \right]. \quad (13)$$

Здесь  $L$  — толщина образца или тонкой пленки. Выделяя в (13) зависимость от времени, получаем

$$J(t) = \frac{|t|^{1/3} B^{1/3}}{3} \int_0^{\infty} \frac{dx}{x^{4/3}} [1 - \cos x] + i \operatorname{sign} t \frac{|t|^{1/3} B^{1/3}}{3} \int_0^{\infty} \frac{dx}{x^{4/3}} \sin x. \quad (14)$$

Вид зависимости  $J(\omega)$  представлен на рис. 2. Из (13), (14) следует существование значительной асимметрии формы линии, сильно развитых крыльев линии (существенно более мощных, чем крылья лоренциана) и размерного эффекта: и ширина линии, и характеристики ее асимметрии оказываются пропорциональными  $L^{-3}$ . Кроме того, затухание во времени Фурье-образа формы линии (14) указывает на появление в рассматриваемом случае новой характерной формы линии с новым законом затухания крыльев линии. Таким образом, экспериментальное исследование форм линий ИК-поглощения и рамановского рассеяния непентральных ионов и ян-теллеровских центров в тонких пленках и у поверхности кристалла позволит идентифицировать эффект сил изображения.

Авторы благодарны Б.П.Захарчене и А.А.Каплянскому за внимание к работе и поддержку и А.М.Монахову за проведение вычислений на ЭВМ.

## Список литературы

- [1] Аверкиев Н.С., Вихнин В.С., Соколов Н.С., Яковлев Н.Л. // Письма в ЖЭТФ. 1992. Т. 56. С. 12–15.
- [2] Averkiev N.S., Vikhnin V.S., Sokolov N.S., Yakovlev N.L. // Proc. of ICDIM-92. WS. Singapore-London, 1993. V. 2. P. 1271–1273.
- [3] Narayananuriti V., Pohl R.O. // Rev. Mod. Phys. 1970. V. 42. P. 201.
- [4] Vikhnin V.S., Sochava L.S. // Preprint FTI. 1991. N 1539.
- [5] Берсукер Н.Б., Полингер В.З. Вибронные взаимодействия в молекулах и кристаллах. М.: Наука, 1983. 336 с.
- [6] Дейген М.Ф., Глинчук М.Д. // УФН. 1974. Т. 114. С. 185–211.
- [7] Вихнин В.С., Сочава Л.С., Телларов Ю.Н. // ФТТ. 1978. Т. 20. № 11. С. 2412–2419.
- [8] Mahan D. // Phys. Rev. 1967. V. 153. N 3. P. 983.
- [9] Абрагам А., Блини Б. Электронный парамагнитный резонанс переходных ионов. М.: Мир, 1973. Т. 2. С. 253.
- [10] Stoneham A.M. // Rev. Mod. Phys. 1969. V. 41. P. 82–108.

Физико-технический институт  
им. А.Ф. Иоффе РАН  
Санкт-Петербург

Поступило в Редакцию  
15 декабря 1993 г.